

# TERMODISOCIACIJA VODIKA V CELICI Z VROČO VOLFRAMSKO NITKO

Iztok Čadež, Institut za fiziku, P.P. 57, 11001, Beograd

## HYDROGEN THERMODYSSOCIATION IN GAS CELL CONTAINING HOT TUNGSTEN FILAMENT

### ABSTRACT

The rate of the neutral hydrogen gas dissociation in a simple metalic gas cell is discussed. The atomization on the hot tungsten filament is the source of atoms while atom recombination occurs on the cool metal wall of the cell. The gas pressure in the present consideration is of the order of  $10^{-2}$  mbar. The influence of sticking and recombination coefficients to the dissociation rate is elucidated.

### POVZETEK

V tem prispevku je obravnavana stopnja disociiranosti nevtralnega vodika v enostavni kovinski plinski celici. Atomizacija na vroči volframski nitki je izvir vodikovih atomov, medtem ko se le-ti istočasno tudi rekombinirajo na hladni steni celice. Tlak v tej celici je velikostnega reda  $10^{-2}$  mbar. Razjasnjen je vpliv veznih in rekombinacijskega koeficienta glede na stopnjo disociiranosti vodika.

### 1 UVOD

Za bolj precizno razumevanje in modeliranje procesov v plazmi in na površinah postaja nujno potrebno vse bolj detajlno razumevanje posameznih procesov interakcije. Ceprav obstaja dosti informacij za posamezne procese z delci v osnovnih stanjih, pa je izredno malo znanega o eksitiranih delcih. Ti so v mnogih primerih bistvenega pomena, ker pripeljejo ali do popolnoma novih reakcij in s tem pojavov ali bistveno spreminjajo verjetnosti posameznih procesov.

Za veliko različnih pojavov so temeljnega pomena tisti z molekulami in atomi vodika. Od vseh molekul v medzveznem prostoru so vodikove najbolj številne in mehanizem njihovega nastajanja je še zmeraj odprt vprašanje. Mislimo, da do njihovega naravnega nastanka pride z rekombinacijo atomov na površinah medvezdnih delcev, prahu /1/. Nadalje, elementarni procesi v vodiku (posebno za njegove teže izotope) imajo izreden pomen za razumevanje in projektiranje nove generacije tokamak instalacij. Namreč, v mejni plazmi prihaja do nastajanja raznih molekul in med njimi so molekule vodika najbolj pomembne. Tako imajo že same medsebojne reakcije molekul in atomov v tem prostoru, še posebno reakcije z notranjimi stenami teh naprav, bistven pomen za razvoj teh velikih naprav. Vodik je zelo pogosto glavna ali zelo pomembna komponenta različnih tehnoloških plazem. Posebno velik pomen ima vodik pri obratovanju intenzivnih volumskih ionskih izvirov za negativne vodikove ione. Ti predstavljajo prvi element sistemov za pripravo intenzivnih, visokoenergijskih nevtralnih curkov za gretje fuzijske plazme. Tu je posebno pomembna vibracijska eksitacija molekul vodika, kajti ravno ta je odgovorna za nastanek negativnih ionov /2/.

V tem prispevku je prikazan le en vidik raziskav elementarnih procesov nevtralnih atomov in molekul vodika v enostavni kovinski plinski celici. Te raziskave so do sedaj pokazale na izreden pomen vibracijske eksitacije molekul vodika, ki nastanejo z rekombinacijo atomov na hladnih površinah kovin /3,4/. Bolj detajlno bo o problemu, ki ga tu obravnavamo, tj. o določanju stopnje disocijacije vodika, govora v razpravi, ki je v pripravi /5/.

### 2 TERMODISOCIACIJA V PLINU

Zaradi termičnega gibanja je vsak plin pri dani temperaturi delno disociiran. Posebno je pomembna, tako za astrofiziko kot tudi za fiziko plazme, termodisociacija vodika, to je reakcija:



ki je inducirana s termičnim gibanjem drugih delcev plina.

Stopnja disocijacije se lahko izračuna z ravnotežno konstanto ( $K_{eq}$ ), ki veže delne tlake atomarne, disociirane ( $p_1$ ) in molekularne ( $p_2$ ) komponente plina:

$$K_{eq} = \frac{p_1^2}{p_2 p_{st}} \quad (2)$$

Tako definirana ravnotežna konstanta je brezdimenzijska količina in se lahko dobi iz ravnotežne konstante pri standardnem tlaku ( $p_{st} = 0,1 \text{ MPa}$ ) /6/. Ravnotežna konstanta ima enostavno aproksimativno eksponentialno odvisnost od temperature:  $K_{eq} = A \cdot e^{-B'/T}$ . Konstanti A in B' izračunamo za primer  $\text{H}_2$  vodikove molekule v temperaturnem področju od 1000 do 3000 K, iz podatkov v literaturi /6/ imata naslednje vrednosti:

	A	B' [ K ]
$\text{H}_2 \leftrightarrow \text{H} + \text{H}$ :	$1,3827 \cdot 10^6$	53890,4

Na primer, da je celotni tlak  $p_c = p_2 + p_1 = 5 \cdot 10^{-2}$  mbar, kar je značilna vrednost, pomembna za pričujočo razpravo, dobimo za temperature 1400, 2200 oziroma 3000 K delni tlak disociirane komponente vodika  $p_1 = 4 \cdot 10^{-5}, 2,7 \cdot 10^{-2}$  oziroma  $4,99 \cdot 10^{-2}$  mbar.

Za kvantitativno karakterizacijo stopnje disociiranosti plina je bolj praktično uporabljati parameter  $\alpha$ , ki ga definiramo kot količnik pogostosti trkov molekul ( $Z_2$ ) in atomov ( $Z_1$ ) z enotino površino, ki je obdana z opazovanim plinom:

$$\alpha = \frac{Z_2}{Z_1} \quad (3)$$

Torej je  $\alpha = \infty$  za nedisociiran (nizke temperature) in  $\alpha = 0$  za popolnoma disociiran, atomaren, plin. Iz kinetične teorije plina je  $Z_i = z_i p_i$ , z  $z_i = (2 \pi M_i k T_i)^{-1/2}$  in indeksom  $i=1,2$  za atome oziroma molekule (v nadalnjem besedilu bo vedno z indeksom "1" označena količina, vezana na atom, in z "2" na molekulo). Pogostnost trkov  $Z_i$  je podana v enoti  $m^{-2}s^{-1}$ . Parameter  $\alpha$  je posebno praktičen, kadar so interakcije s površinami pomembne za konkreten primer, in še posebno, če je raziskava interakcij s površinami cilj dela. Za primer molekule  $H_2$  je  $M_2/M_1 = 2$  in v celem nadalnjem besedilu bo uporabljena predpostavka, da sta si temperaturi obeh komponent plina enaki:  $T_1 = T_2 = T$ . Za vodik torej velja naslednja zveza med parametrom  $\alpha$  in količnikom delnih tlakov:

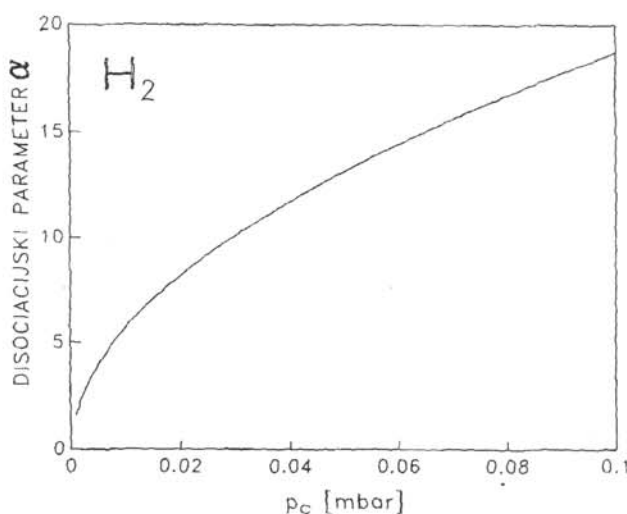
$$\alpha = \frac{p_2 \sqrt{M_1 T_1}}{p_1 \sqrt{M_2 T_2}} = \frac{\sqrt{2}}{2} \left( \frac{p_2}{p_1} \right) \quad (4)$$

Iz osnovne definicije parametra  $\alpha$  dobimo enostavno zvezo med delnimi tlaki  $p_i$  in celotnim tlakom  $p_c$ :

$$p_1 = p_c / (1 + \sqrt{2} \alpha) \quad (5)$$

$$p_2 = p_c \cdot \sqrt{2} \cdot \alpha / (1 + \sqrt{2} \alpha)$$

Na sliki 1 je prikazana odvisnost parametra  $\alpha$  od celotnega tlaka pri temperaturi 1800 K.



Slika 1. Ravnotežna disociacija vodika za  $T = 1800$  K v odvisnosti od celotnega tlaka

Delni rezultati detajlne analize hitrosti reakcij disociacije molekul vodika v odvisnosti od notranje vibracijsko - rotacijske ekskcitacije so podani v literaturi [7]. Isti avtor je analiziral tudi vpliv trojnih trkov na reakcijo disociacije molekul in inverzno reakcijo, tj. rekombinacijo atomov.

### 3 TERMODISOCIACIJA NA VROČI POVRŠINI

Termodisociacija v neutralnem plinu je v normalnih razmerah ponavadi bolj malo verjetna zaradi nezadostno visokih temperatur. Pomembna je kot proces v plinih v astrofiziki kot tudi pri gorenju. Če so v plinu prisotni nanelektreni delci, kot je to primer v plazmi, je stanje bistveno bolj zapleteno. Tu ni mogoče enostavno razlikovati termodisociacije, ki se dogaja pod vplivom termalnih trkov nezveznih delcev od procesov disociacije, ki jih povzročajo nenelektreni delci. Slednji imajo ponavadi večjo energijo od termične, pa so zaradi tega tudi bolj učinkoviti povzročitelji disociacije.

Drugač kot pri omenjenem stanju, ko prevladujejo volumski procesi, je termodisociacija praktično pomembna v primeru, ko vročo površino obkroža neutralni plin, ki pa sam nima posebno visoke temperature. To je na primer običajno stanje, ki so ga raziskovali v začetku tega stoletja v zvezi z žarnicami, in ki je pripeljala Langmuir-a, pionirja teh raziskav, do vrste zanimivih rezultatov [8], ki imajo velik tehnološki pomen.

Termodisociacijo plina na vroči površini, ali kot pravimo v tem primeru atomizacijo molekul, lahko kvalitativno ovrednotimo z upoštevanjem kinetike samega procesa, brez detailnega vpogleda v bistvo procesov na površini. V tem primeru je to bistvo elementarnih procesov vključeno parametrsko z odgovarjajočima količinama: z veznima (sticking) koeficientoma ( $s_1$  in  $s_2$ ) in z verjetnostjo desorpkcije ( $d_1$  in  $d_2$ ) ter s parametri stanja na površini: površinska koncentracija adsorbiranih delcev ( $N_{a1}$  in  $N_{a2}$ ) in pokritostjo (coverage) površine  $\vartheta = N_a / N_s$  ( $N_s$  - površinska gostota mogočih mest za adsorpkcijo). V nadalnjem bomo temperaturo okoliškega plina označili s  $T'$ , temperaturo površine pa s  $T$  (enako, kot z indeksi za atome in molekule bodo tudi količine, vezane na temperaturo plina, označene z " " ; količine, povezane s temperaturo površine, pa bodo brez posebne oznake). Pričujoča razprava je majhna pospolitev razprave o atomizaciji na površinah, ki jo najdemo pri Brennan-u [9].

Opazujemo vročo površino kovine, ki kemisorbira vodik. Vzemimo, da je temperatura površine  $T$  in predstavljamo si, da na sami površini obstaja dvodimensionalni plin, katerega temperatura je enaka tisti na površini. Okoliški plin označimo s temperaturo  $T'$  in celotnim tlakom  $p_c = p_1 + p_2$ , ki ga eksperimentalno merimo. Atomi in molekule plina se pri trku s površino nanjo lepijo z odgovarjajočima veznima koeficientoma  $s_1$  in  $s_2$ . Ti predstavljajo verjetnost, da se delci, katerega srednja energija je določena s temperaturo  $T'$ , veže s površino zadosti dolgo časa, da pride do celotne izmenjave energije s površino. Na njej namreč obstajajo adsorbirani atomi in molekule (pri medsebojnih trkih adsorbiranih atomov prihaja do rekombinacije in nastajanja molekul) in ti desorbirajo s površine z ustrezeno verjetnostjo  $d_1$  oz.  $d_2$ . Desorpkcijo lahko označimo s pretokom delcev, ki zapuščajo enotino površino:  $D_i = d_i N_{ai}$ ,  $i=1,2$ . V ravnotežnem primeru je celotni pretok delcev, recimo atomov, ki se vežejo na površino, enak tistem, ki jo zapuščajo:

$$\dot{s}_1 Z_1 + 2 \dot{s}_2 Z_2 = D_1 + 2 D_2 \quad (6)$$

V posebnem primeru, ko je  $T=T'$ , površina ne vpliva na medsebojne odnose koncentracij atomarne in molekulske komponente in je zato  $\dot{s}_1 Z_1 = D_1$  in  $\dot{s}_2 Z_2 = D_2$ .

Osnovna predpostavka pri obravnavi neravnovežnega, splošnega primera je, da vedno obstaja nek ekvivalentni celotni tlak  $p_{ceq}$ , ki bi s temperaturo plina  $T$  formiral isto stanje na površini, kakor je to v opazovanem primeru (celotni tlak  $p_c$  in temperatura  $T'$  plina ter temperatura površine  $T$ ). Ko ta ekvivalentni tlak določimo, je enostavno izračunati pretok desorbiranih atomov oziroma molekul iz razmerja:

$$\dot{s}_1 Z_1 + 2 \dot{s}_2 Z_2 = \dot{s}_1 Z_1 + 2 \dot{s}_2 Z_2, \quad (7)$$

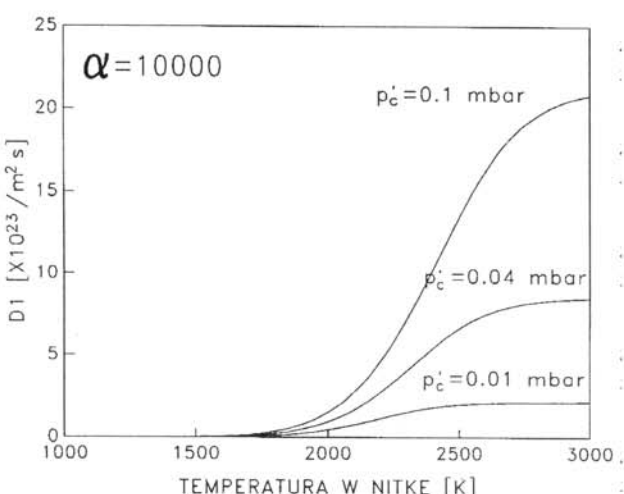
pri čemer se leva stran enačbe nanaša na realne razmere okoliškega plina, desna pa na ekvivalentne ( $p_{ceq}$ ,  $T$ ). Z upoštevanjem zgoraj omenjenih predpostavk dobimo z enostavno algebro izraz za pretok desorbiranih atomov:  $D_1 = \dot{s}_1 Z_1$ . V primeru, da je plin delno disociiran, s parametrom disociacije  $\alpha$ , dobimo za  $D_1$  naslednji izraz:

$$D_1 = \frac{\dot{s}_1^2 p_{st} K_{eq}}{4 \dot{s}_2 (k M_1 T \pi)^{1/2}} \left( \sqrt{1 + \Delta} - 1 \right), \quad (8)$$

pri čemer je:

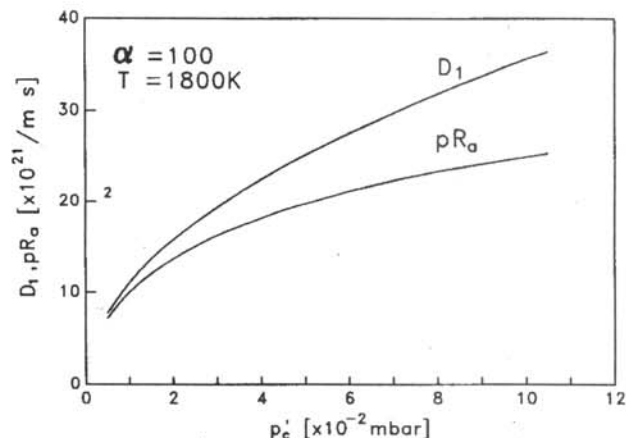
$$\Delta = \frac{4 \dot{s}_2 (\dot{s}_1/\alpha + 2 \dot{s}_2) (T/T')^{1/2}}{\dot{s}_1^2 p_{st} K_{eq}} p'_c \quad (9)$$

Delni tlak  $p'_c$  izračunamo iz celotnega tlaka  $p_c$  in  $\alpha$  iz enačbe (5). Čista produkcija atomov na enotino površino je enaka razliki  $p_{Ra} = D_1 - \dot{s}_1 Z_1$ , ker je prvi člen pretok disociacije in drugi izguba atomov zaradi vezave na površino.



Slika 2. Odvisnost  $D_1$  od temperature površine  $T$

Na sliki 2 je prikazana odvisnost pretoka desorbiranih atomov s površine volframa od temperature za tri različne vrednosti celotnega tlaka, za  $\alpha = 10^4$  in  $T' = 300$  K. Na sliki 3 pa je prikazano, kako se  $D_1$  in  $p_{Ra}$  spremenjata v odvisnosti od celotnega tlaka  $p_c$ .



Slika 3. Odvisnost  $D_1$  in  $p_{Ra}$  od celotnega tlaka  $p'_c$ ;  $T = 1800$  K; vrednosti  $\alpha$  in veznih koeficientov so enake kot na sliki 2.

Zanimiv je poseben primer, ko je  $\Delta \gg 1$ , kar je pogosto izpolnjeno za tlake, ki jih tu obravnavamo. V tem primeru je  $D_1$  približno enak:

$$D_1 = D_1^\infty \left[ \left( 1 + \frac{\dot{s}_1}{2\alpha \dot{s}_2} \right) \left( \frac{\sqrt{2} \alpha}{1 + \sqrt{2} \alpha} \right) \right]^{1/2} \quad (10)$$

kjer  $D_1^\infty$  ustreza popolnoma nedisociiranemu plinu,  $\alpha = \infty$ :

$$D_1^\infty = \dot{s}_1 \left( \frac{\dot{s}_1}{\dot{s}_2} \right)^{1/2} (p_{st} K_{eq}/2)^{1/2} \cdot (T'/T)^{1/4} Z'_1 \sqrt{p'_c} \quad (11)$$

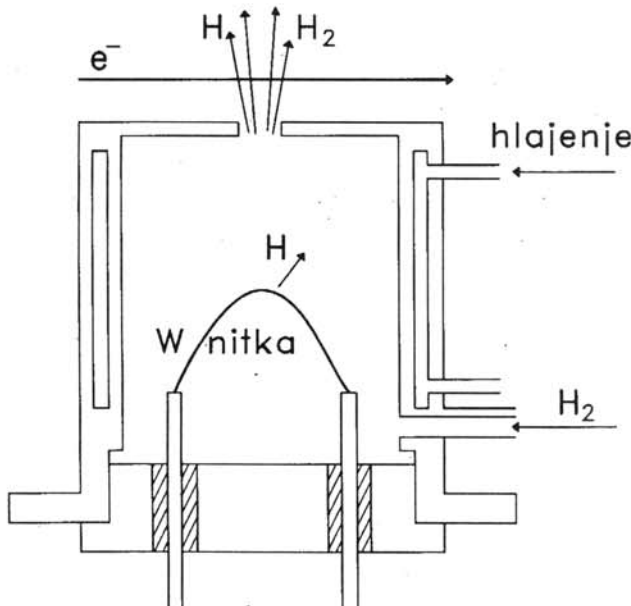
Izraz (11) je enak kot v literaturi [9], enačba 46.

Iz enačbe (10) je razvidno, da je odvisnost  $D_1$  od  $\alpha$  majhna, razen kadar je  $\dot{s}_2 \ll \dot{s}_1$ . Iz iste enačbe sledi, da se  $D_1$  spreminja približno s kvadratnim korenom tlaka  $p'_c$  in da je močno odvisen od temperaturu površine zaradi takšne odvisnosti  $K_{eq}$ . Čeprav  $D_1$  ni posebno močno odvisen od  $\alpha$ , to ne velja za  $p_{Ra}$ , zaradi skoraj linearne odvisnosti  $Z_1$  od  $\alpha$ .

#### 4 STOPNJA DISOCIACIJE PLINA V CELICI Z VOLFRAMSKO NITKO

V tem prispevku nas predvsem zanima stopnja disociacije vodika, ki polagoma priteka v kovinsko celico, ki je shematično prikazana na sliki 4. V celici je vroča volframska nitka ( $\phi = 0,4$  mm, dolžina  $\sim 7$  cm), ki se lahko uporovno, tj. z električnim tokom, segreje

do poljubne temperature, tja do 3000 K (temperatura taljenja volframa je okoli 3700 K). Celica je cilindrične oblike, ima majhno centralno odprtino ( $\phi = 4 \text{ mm}$ ), ki jo veže z visokim vakuumom. Narejena je iz nerjavčega jekla, njene stene so hlajene s pretokom zraka, vode ali drugega hladilega sredstva.



Slika 4. Celica s parcialno disociiranim vodikom

V celici, ki je prikazana na sliki 4, se atomizirajo molekule vodika na vroči površini nitke, kar povzroča delno disociacijo plina. Istočasno lahko pride pri interakciji atomov vodika s hladnimi površinami sten do rekombinacije dveh atomov in nastanka molekul. Medtem ko je pri interakciji z vročo površino desorpcija molekul čisto termodinamični proces, pa prihaja v ravnotežnem primeru pri nižjih temperaturah do novih elementarnih procesov rekombinacije, tako da je v tem primeru enačba (6), ki definira ravnotežje procesov adsorpcije in desorpcije na površini, naslednja:

$$\dot{s}_1 Z'_1 + 2 \dot{Z}'_2 = \dot{D}'_1 + 2 \dot{D}'_2 + R', \quad (12)$$

pri čemer je  $R'$  pretok molekul, ki nastanejo z rekombinacijo na površini kot rezultat trka atoma s površino:  $R' = k'_r \cdot \vartheta \cdot Z'_1$  ( $k'_r$  - verjetnost rekombinacije,  $\vartheta$  - prekritost površine z adsorbiranimi delci). Obstajata dva skrajna modela za opis procesa rekombinacije: Eley-Rideal-ov in Langmuir-Hichelwood-ov. Pri prvem se rekombinacija dogaja v direktem, binarnem trku atoma, ki pri tem s površine iztrga adsorbirani atom in na ta način nastane prosta molekula, ki zapusti površino. V drugem primeru atom začasno obtiči na površini, vendar po nekem času, ko je difundiral po površini, "najde" drug atom, in če so izpolnjeni določeni energijski pogoji, jo zapuščata skupaj kot prosta molekula. Bolje razumevanje procesa rekombinacije z analizo vibracijske porazdelitve nastalih molekul je v bistvu osnovni cilj raziskav, od katerih je en del opisan v tem prispevku. Na tem mestu o detajlih rekombinacije ne bo govora, čeprav ta proces bistveno vpliva na stopnjo disociacije plina. Za sedaj

je dovolj, da proces rekombinacije smatramo za parametričnega na tak način, da izrazimo koeficient rekombinacije:

$$\gamma = \frac{\text{pretok novonastalih molekul}}{\text{pretok vpadnih atomov}} \quad (13)$$

Skozi celico, ki smo jo predstavili, teče stalni pretok plina in v njej je celoten tlak v področju do 100 mbar. V konkretnem primeru je pretok vodika do 25 sccm. Pri tako majhnih tlakih in temperaturah plina niti rekombinacija niti disociacija pri medsebojnih trkih prostih delcev ni verjetna. Tako je torej v celici, o kateri govorimo, edino možna atomizacija na vroči nitki in rekombinacija na površinah sten, kar določa ravnotežno stanje disociacije plina. Osnovna enačba, ki definira časovno odvisnost prostorske gostote atomov  $N_1$ , se glasi:

$$\left[ \frac{dN_1}{dt} \right] = \left[ \frac{dN_1}{dt} \right]_{AN} - \left[ \frac{dN_1}{dt} \right]_{iz} - \left[ \frac{dN_1}{dt} \right]_{RS} \quad (14)$$

pri čemer je prvi člen na desni strani prispevki k atomski koncentraciji pri atomizaciji na nitki (površina  $A_f$ ), drugi označuje iztok atomov skozi centralno odprtino (površina  $A_o$ ) v vakuum in tretji predstavlja izgubo atomov zaradi rekombinacije na stenah (površina  $A_s$ ). Posamezni členi so:

$$\left[ \frac{dN_1}{dt} \right]_{AN} = (D_1 - \dot{s}_1 Z'_1) A_f / V_s \quad (15)$$

$$\left[ \frac{dN_1}{dt} \right]_{iz} = Z'_1 A_o / V_s \quad (16)$$

$$\left[ \frac{dN_1}{dt} \right]_{RS} = \gamma A_s Z'_1 / V_s \quad (17)$$

$V_s$  je volumen celice. V ravnotežnem stanju je časovna odvisnost koncentracije atomov enaka nič, tako da za ta primer dobimo zvezo med veličinami:

$$D_1 = (\gamma A_s + A_o + \dot{s}_1 A_f) Z'_1 \quad (18)$$

Če v enačbo (18) vstavimo izraz (8) za  $D_1$  in jo rešimo po  $\alpha$ , dobimo izraz za ravnotežni parameter disociacije  $\alpha_{eq}$ :

$$\alpha_{eq} = \frac{b}{2a} \left[ \left( 1 - \frac{4a}{b^2} (c - d p_c) \right)^{1/2} - 1 \right] \quad (19)$$

pri čemer so  $a$ ,  $b$ ,  $c$  in  $d$  v zgornji enačbi:

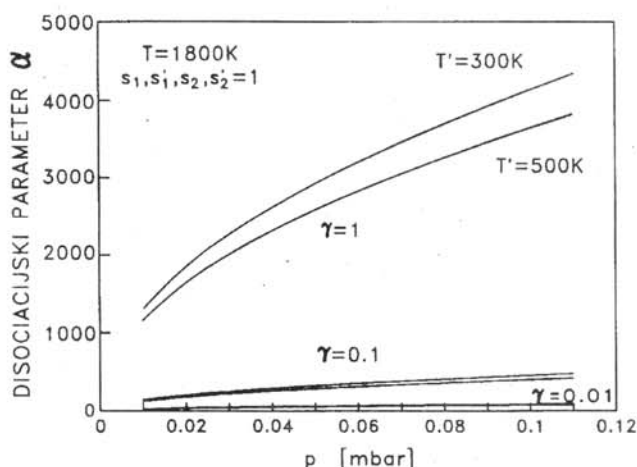
$$a = 4 \dot{s}_2$$

$$b = 2 \sqrt{2} \dot{s}_2 + 2 \dot{s}_1$$

$$c = \sqrt{2} \dot{s}_1 \quad (20)$$

$$d = \frac{4 s_2 (\gamma A_s + A_o + s_1 A_f)^2}{s_1^2 p_{st} K_{eq} A_f^2} (T/T')^{1/2}$$

Na sliki 5 je prikazana odvisnost ravnotežne stopnje disociacije  $\alpha_{eq}$  od celotnega tlaka, izračunana iz enačbe (19). Prikazane so odvisnosti za tri različne vrednosti koeficientov rekombinacije: 1, 0,1 in 0,001, in dve temperaturi nevtralnega plina: 300 K in 500 K. Za primer je vzeta značilna temperatura nitke 1800 K in predpostavka, da so vsi vezni koeficienti enaki ena. Iz slike je razvidno, da obstaja močna odvisnost stopnje disociiranosti plina  $\alpha_{eq}$  od rekombinacijskega koeficiente  $\gamma$ , kar pomeni, da je ta parameter možno določiti iz odgovarjajočih meritev. Iz prikazanih rezultatov je razvidno, da  $\alpha_{eq}$  raste s kvadratnim korenem celotnega tlaka. Tu je še potrebno povedati, da je odvisnost od temperature vroče površine nitke tudi zelo močna, tako da je precizno določanje tega parametra zelo pomembno.



Slika 5. Odvisnost stopnje disociacije plina od celotnega tlaka za tri vrednosti koeficiente rekombinacije in dve temperaturi plina

Medsebojna povezava veznih koeficientov in rekombinacijskega (izrazi za parametre a, b, c in d - enačba (20)), pomeni, da je mogoče določiti enega od teh parametrov, če so drugi znani, in če  $\alpha_{eq}$  izmerimo. Odvisnost  $\alpha_{eq}$  od znanih geometričnih parametrov kovinske celice in od kontroliranih temperatur ter tlaka, kaže, da so eksperimenti s to kovinsko celico lahko zelo različni in s tem tudi zanimivi kot fizikalni problem. Tudi njegove aplikativne implikacije so pomembne.

## 5 MERJENJE STOPNJE DISOCIACIJE Z ELEKTRONSKO IONIZACIJO

Določanje stopnje disociiranosti plina v celici ni zelo enostavno. Za to analizo je razvita /5/ metoda, ki je osnovana na merjenju ionizacije plina, ki skozi centralno odprtino v celici izteka v visoki vakuum. Na razdalji 5 do 10 mm od odprtine je elektronski curek dobro definirane in spremenljive energije. Pravokotno na smer

elektronskega curka detektiramo ione, ki nastanejo zaradi trkov elektronov z atomi oziroma z molekulami plina, izhajajočega iz celice. S kvadrupolnim filtrom ločimo ione  $H^+$  od istočasno prisotnih  $H_2^+$  in jih detektiramo z elektronskim multiplikatorjem.

Preseki za ionizacijo atoma in molekule vodika so znani iz literature /10/ in njihove vrednosti predstavljajo osnovo za kvantitativno metodo določanja  $\alpha$ . Presek za ionizacijo atoma vodika ima prag pri 13,61 eV in narašča približno linearne z energijo elektronov (z naklonom  $5,45 \times 10^{-18} \text{ cm}^2 \text{ eV}^{-1}$ ). Ionizacija molekule vodika ima prag pri 15,42 eV (ko pride do nastanka  $H_2^+$  iona) in naslednjega pri 18,08 eV, ki odgovarja disociativni ionizaciji, oziroma ki pripelje do nastanka  $H^+$  iona. Presek za disociativno ionizacijo raste z energijo elektronov z naklonom  $0,15 \times 10^{-18} \text{ cm}^2 \text{ eV}^{-1}$ . Ker sta oba procesa nastajanja  $H^+$  iona precej vsak sebi in tudi zato, ker je presek za molekule veliko (42-krat) manjši kot za atome, je mogoče določiti stopnjo disociacije enostavno z merjenjem relativnega naklona toka  $H^+$  ionov oziroma spremembe naklonov na odgovarjajočih pragovih. Količnik teh naklonov, pomnožen z 42, daje količnik koncentracij molekul in atomov v centru interakcij. Če predpostavimo enako temperaturo oziroma srednjo hitrost obeh vrst delcev, tedaj je ta količnik tudi enak količniku delnih tlakov, kar nam končno po enačbi (4) daje tudi stopnjo disociacije  $\alpha$ .

Analize točnosti določanja  $\alpha$  z opisano metodo kot tudi sistematične napake, ki so možne, ne bomo tu opisovali. Sama metoda je zadost prožna, da omogoča tudi drugačne variante, recimo določanje koncentracije molekul z detektiranjem  $H_2^+$  ionov ali določanje prostorske porazdelitve iz celice izhajajočih delcev.

## 6 ODVISNOST STOPNJE DISOCIACIJE OD KOEFICIENTA REKOMBINACIJE IN KOEFICIENTOV LEPLJENJA

Na sliki 6 je prikazan primer eksperimentalnega določanja odvisnosti  $\alpha$  od celotnega tlaka v celici. Temperatura nitke je bila 1800 K, notranja površina celice pa naparjena z volframom. Ugotavljamo, da  $\alpha$  raste približno s kvadratnim korenem iz celotnega tlaka. V primeru, da je celotni tlak zadosti velik, kar v našem primeru je, dobimo iz enačbe (19) aproksimativno enačbo za  $\alpha_{eq}$ :

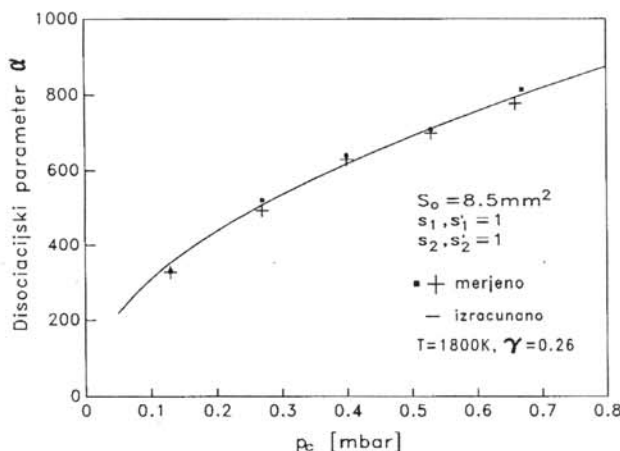
$$\alpha_{eq} = \left( \frac{d}{a} pc \right)^{1/2} = C_{exp} pc^{1/2} \quad (21)$$

Torej, kot eksperimentalni rezultat dobimo konstanto  $C_{exp}$ , ki povezuje vezne in rekombinacijski koeficient s parametri celice in s temperaturo stene in nitke. Če vstavimo izraze za konstanti  $\alpha$  in  $d$ , dobimo enačbo za  $\gamma_{exp}$ :

$$\gamma_{exp} = s_1 \frac{A_f}{A_s} \left( \frac{s_2 p_{st} K_{eq}}{s_2} \right)^{1/2} \left( \frac{T'}{T} \right)^{1/4}$$

$$C_{\text{exp}} = \frac{A_0}{A_s} - s_1 \frac{A_f}{A_s} \quad (22)$$

Iz tega lahko končno določimo ali vrednost rekombinacijskega koeficienta ali, če je le-ta znan, vrednosti veznih koeficientov. Sam izraz in metoda nam kažejo, da je s serijo eksperimentov pod različnimi pogoji mogoče dobiti različne medsebojne odnose med ustrezнимi koeficienti. Tako je, recimo, z naparevanjem različnih kovin na notranje stene celice, možno določiti medsebojna razmerja rekombinacijskih koeficientov. Enako je mogoče z variiranjem temperature nitke določiti vezne koeficiente  $s_1$ ,  $s_2$ ,  $s'_1$  in  $s'_2$ . Vsi ti širje koeficienti veljajo za kombinacijo vodik - volfram. Z uporabo nitke iz, recimo, tantalja, je mogoče določiti vezne koeficiente za to kovino ali pa je, kar je tudi zelo zanimivo, z vpuščanjem devterija namesto navadnega vodika mogoče določiti izotopno odvisnost vseh naštetih koeficientov.



Slika 6. Izmerjena odvisnost stopnje disociacije vodika v primerjavi z izračunano

## 7 SKLEP

V tem prispevku je pokazano, kako je mogoče z obravnavo v bistvu izredno enostavnega problema določiti pomembne parametre interakcije atomov vodika z površinam kovin. Z sistematičnim eksperimentalnim programom je mogoče določiti vrednosti veznih in rekombinacijskih koeficientov za razne kovine in za razne eksperimentalne parametre (temperatura in tlak). V tem prispevku so vse molekule obravnavane kot ena vrsta delcev, čeprav se z vključevanjem še njihove vibracijske ekscitacije, situacija še bistveno bolj popestri. Določanje vibracijske ekscitacije molekul in njenega pomena za različne reakcije je izredno pomemben cilj sedanjih raziskav.

## 8 LITERATURA

- /1/ Duley W.W. and Williams D.A., *Interstellar Chemistry*, Academic Press, London (1984)
- /2/ Bacal M. and Skinner D.A., *Comments At. Mol. Phys.*, 23, (1990), 283
- /3/ Hall R.I., Čadež I., Landau M., Pichou F. and Schermann C., *Phys. Rev. Lett.*, 60, (1988), 337
- /4/ Čadež I., Schermann C., Landau M., Pichou F., Popović D. and Hall R.I., *Z. Phys. Atom. Molec. Clusters*, 26, (1993), 328 (Suppl.: Proc. ISSPIC-6, Chicago, Sept.1992)
- /5/ Gough S., Čadež I., Schermann C., Landau M., Pichou F., Popović D. and Hall R.I., *Plasma Sources Sci. Techn.*, v pripravi
- /6/ JANAF Thermochemical Tables, Third Edition, *Journal of Physical and Chemical Reference Data*, 14, (1985), Supplement No. 1
- /7/ Schwenke D., *J. Chem. Phys.*, 92, (1990), 7267
- /8/ Langmuir I., *General Electric Rev.*, 29, (1926), 153 in razprave, tu citirane
- /9/ Brennan D., *Heterogeneous Atomisation and Recombination in Chemical Kinetics* - 21, Eds.: C.H. Bamford, C.F.H. Tipper and R.G. Compton, Elsevier, Amsterdam (1984), 151-234
- /10/ Crowe A. and McConkey J.W., *J. Phys. B*: *At. Mol. Phys.*, 6, (1973), 2088; McGowan J.W. and Clarke E.M., *Phys. Rev.*, 167 (1968), 167

## NOVI KNJIGI

1. **Vakuumska tehnika za srednješolske predavatelje**, urednik J. Gasperič, Društvo za vakuumsko tehniko Slovenije, junij 1993, 113 str., 84 slik

Knjigo lahko naročite na naslov:

DVT Slovenije, Teslova 30, 61111 Ljubljana,  
ali po telefonu (061) 263 461  
(dr. Bojan Jenko, Andrej Pregelj)

2. Savo Spaić, **Metalografska analiza**

Univerza v Ljubljani, Fakulteta za naravoslovje in tehnologijo,  
Oddelek za montanistiko, Ljubljana 1993, 176 st.

